

大阪工業大学

正員

岡村宏一

東洋技術コンサルタント(株)

正員

島田功

大阪工業大学

学生員

○森芳秀

1. まえがき； 筆者はすでに、ひびわれが網目状に擴がったRCスラブの内部応力集中に関する3次元解析の結果と、それに基づいて実際床版で起り得ると考えらるる1つの破壊機構について報告した。¹⁾ ところが、モデルは比較的単純なものであった。すなはち、内部応力集中を検討するため用いた3次元モデルは正方形のもの²⁾、辺長比による応力集中の傾向の変化について検討する必要がある。また3次元解析による応力値を等方性板理論による応力値と比較して応力集中係数が求めたもの²⁾、輪荷重の移動を考慮した等方性1方向板のモデルを用いて実際床版の破壊機構を論じた。しかしこのモデルは、も拘組の影響など、実際構造についての諸

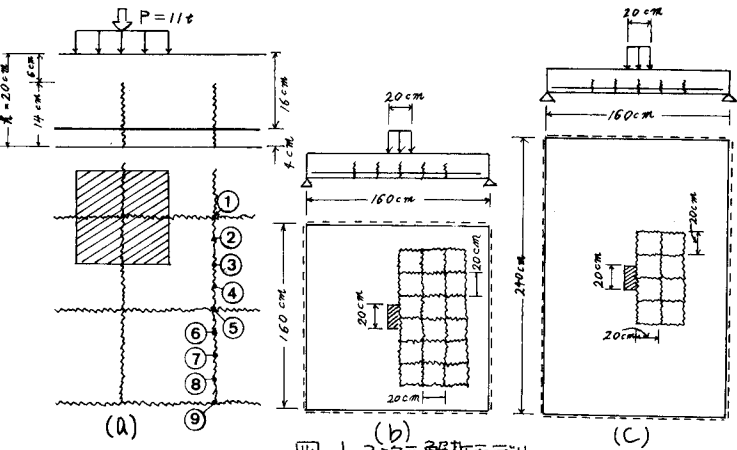
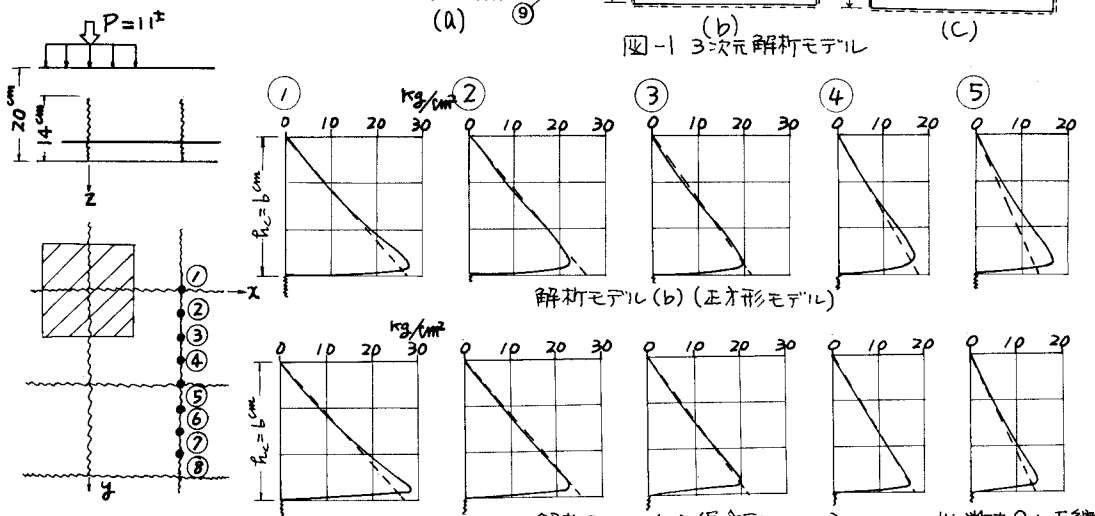


図-1 3次元解析モデル

図-2 横せん断応力分布
-----せん断力 τ を左端
側壁で三角形分布
させた値

条件の導入について検討の余地が残された。今回はこれらを基にした後検討した結果を報告する。

2. 解析モデル； 3次元モデルと(b)の正方形モデルのほかに、(c)の長方形モデルを追加した。モデルは実験¹⁾による調査事実を踏まえたもの²⁾、格子状のひびわれが中立面近傍まで進行し、ひびわれ面のすりへり現象によくそのせん断抵抗が失われる状態を想定したものである。

3. 結論の要約；

- (1) 圧縮側における横せん断応力(T_{xz})は、せん断応力(T_{xy})の集中の傾向は(b), (c)のモデルを

1) 岡村、園田； ひびわれ床版のかう的挙動； 鋼筋コンクリート床版の損傷と疲劳設計へのアプローチ、土木学会関西支部、昭52年7月

比較して限りでは同様で(図-2,3)延長比の影響を除けば
どうぞうである。したがって前報告¹⁾で述べたように(図-2)
中央面の直上の圧縮側における
輪荷直下における中央面近傍の主張応力(σ_{px1})は
輪荷重より若干離れた位置における圧縮側上縁の
主張応力(σ_{px2})は次式によく近似できる。

$$\sigma_{px1} = (T_{xz})_{max} = \frac{2Q}{h_c}$$

$\sigma_{px2} = (T_{xy})_{max} = \frac{b \times M_{xy}}{(h_c)^2} \times 1.5$
ここで、 Q , M_{xy} : 平板理論
はより中央面の位置における
断面、ねじりモーメント、 h_c
: 圧縮側全厚、 $h_c = 6.3$ cm
除いた床版厚、2.0, 2.5は
せん断応力集中係数に相当
する。なお主要要因のねじりか
面上におけるコンクリートの压
縮応力、ならびに鉄筋応力は
慣用計算値とよく一致する。

(2) 実際床版のモデルとして4主筋
合成桁橋の立体解析を行い、一方何枚
のデータと比較した。特に Q , M_{xy}
の分布を見ると(図-5,6)荷重の影
響によつてかなりの変化があるが、そ
れ最大値に大きな差異はない。

(3) 実際床版のモデル(等方性板)
につけた求めた応力値を(1)の結果と併
せてねじり中の発達した状態における
3軸応力の値に置き換えた。次にその

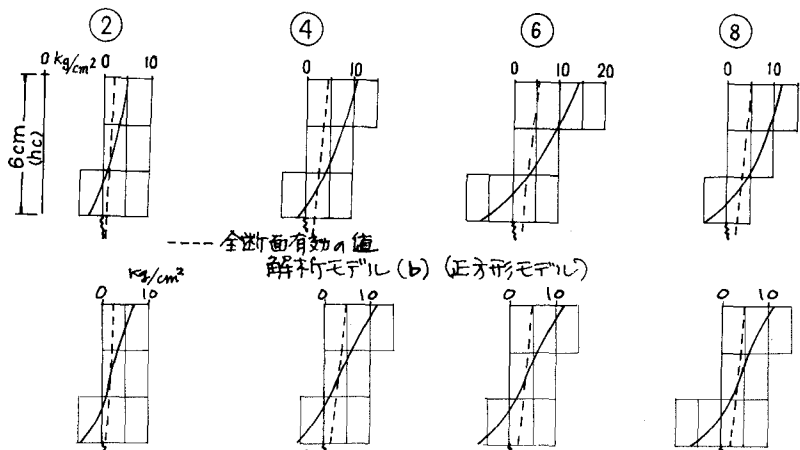


図-3 ねじりせん断応力(T_{xy})の分布

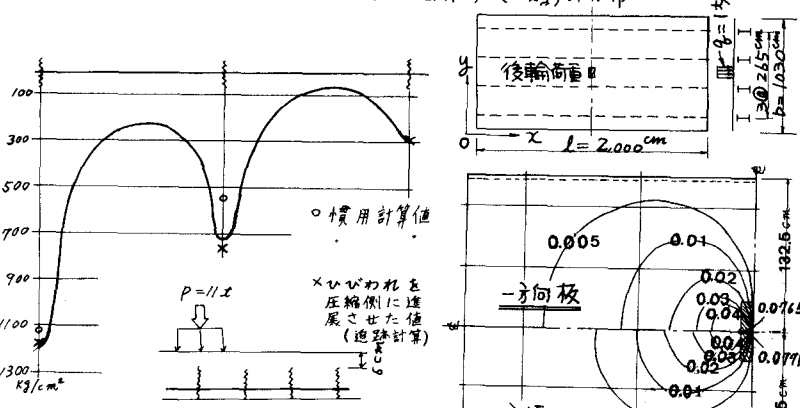


図-4 鉄筋応力

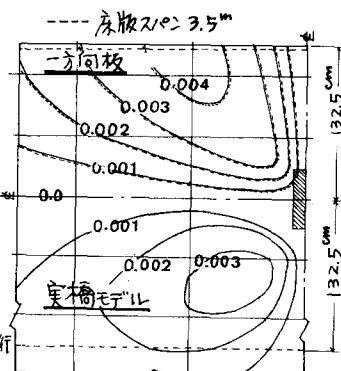


図-5 Q_x の分布 単位:t/m

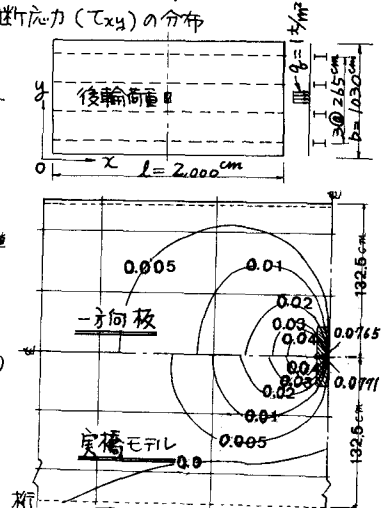


図-6 M_{xy} の分布 単位:t-mm

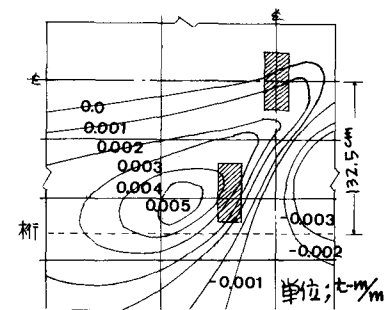


図-7 M_{xy} の最大値(実橋モデル)

らの応力を組み合せた、荷重の移動を考慮に入れて詳細に検討した。ねじり中の床版における σ_{px1} の最大値は、載荷面の近傍にあり、したがつて床版のいたるところに発生する。また圧縮側上面のねじり山を説明する σ_{px2} は荷重より若干離れた位置で大きくより床版の2/10の影響を受けない。劣化した床版では、場合によりこのよつて引張応力が限界値を越えてしまうことを十分考慮するので、圧縮側にねじり山を貫通させ原因になり得る。

(4) 圧縮側にねじり山が進行しても、鉄筋応力は設計値からほとんど変化しない(図-4)。この事実は、ねじり山の貫通による破壊の場合によつて従来の平板の曲げ理論による破壊を実行することを示唆するものである。